# ホットスタンプ材の圧壊試験と衝突CAE

近年の自動車ボディでは電動化対応のため軽量化が図られており、ホットス タンプ材は強度を活かして骨格系部材への利用が進んでいる。ホットスタンプ 材は熱間でプレス成型し、成形金型に挟んだ状態で急冷させることにより強度 を確保する。いっぽうで高強度化のために炭素量を増加すると割れやすくなる ことが知られている」)。

そこでホットスタンプ材の破断特性を引張試験で取得し、その違いを確認し た。また軸圧壊試験を行い、割れ挙動についてデジタル画像相関法(Digital Image Correlation: DIC)をもちいて詳細に観察した。また有限要素法( Finite Element Method: FEM)をもちいた数値解析により破壊を考慮 した軸圧壊シミュレーションを実施し、割れ挙動の比較を行った。



技術本部 計算科学センター

中島

伸吾

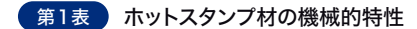
材料ソリューションセンター 技術部 鉄鋼材料技術室

井上 功之

### その結果、精度よく割れ挙動を再現できたので本稿にて紹介する。

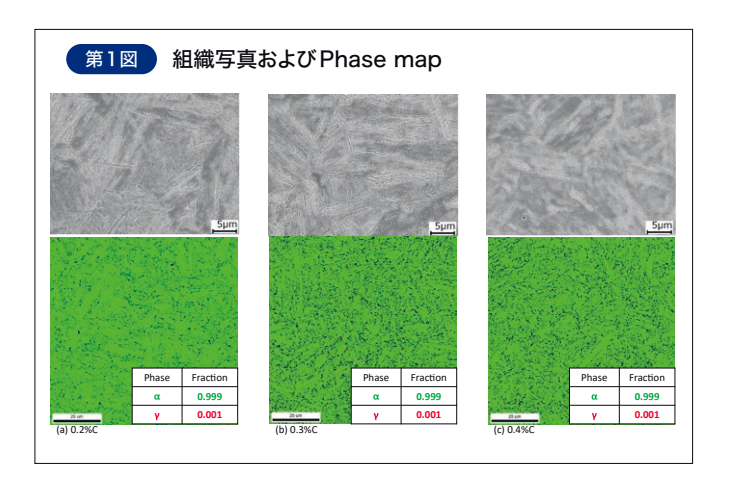
## E-1 ホットスタンプ材の作製

ホットスタンプ材を真空誘導炉で溶製し、板厚1.2mmの冷延 鋼板を作製した。炭素量は0.2, 0.3, 0.4wt.%の3種類とし、そ れ以外の成分は同じとした。作製した冷延鋼板について、ホットス タンプ工法での焼入れを模擬して930℃にて300秒の加熱後に ダイクエンチによる冷却を実施した20。試作板の機械的特性を 第1表に示す。引張強度は、0.2%Cが1349MPa、0.3%Cが 1698MPa、0.4%Cが2087MPaであった。伸びは3材種とも 7%弱であり、C量の違いによる顕著な影響は認められなかった。 第1図に焼入れ後の走査型電子顕微鏡による母材組織写真と 後方散乱電子回折(Electron Backscatter Diffraction、以



材料	0.2%耐力 (MPa)	引張強度 (MPa)	伸び (%)
0.2%C	957	1349	6.8
0.3%C	1148	1698	6.6
0.4%C	1317	2087	6.7

降EBSD)によるPhase mapを示す。母材組織はマルテンサイ ト組織を有しており、C量の増加にともない炭化物の析出が促進 されていることが確認される。また、Phase mapでは緑色を $\alpha$ 相、赤色をγ相で表示しており、相分率の結果よりγ相が0.1%と 少ないことからマルテンサイト単相の組織と判断された。



# E-2 破断特性取得のための材料試験

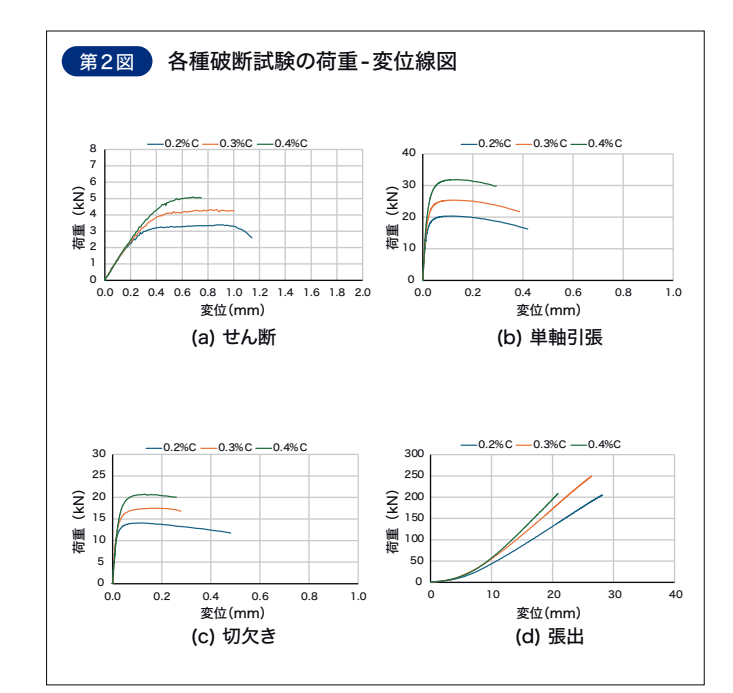
自動車の衝突解析では応力三軸度ηに代表される応力状態 に依存した破断モデルがもちいられることが多い。そのための試 験方法がいくつか報告されており、本件ではせん断試験、単軸引 張試験、切欠き付き試験片の引張試験、および張出試験の4種 類の試験をおこなった。これらの試験で応力三軸度は、それぞ れ、せん断( $\eta = 0$ )、単軸引張( $\eta = 1/3$ )、平面ひずみ( $\eta =$  $1/\sqrt{3}$  )、および等二軸( $\eta = 2/3$ ) に相当する。引張試験は島津

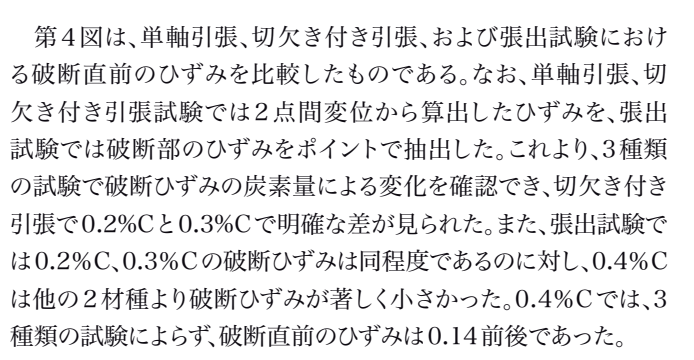
製作所社製万能試験機を使用し、張出試験は東京衡機試験機 社製深絞り試験機を使用した。ひずみ計測にはGOM社製DIC 装置ARAMISを使用し、試験片表面にランダムパターンを塗布 して試験片破断時までひずみを測定した。

各試験で得られた荷重-変位線図を第2図に示す。なお、図 横軸の変位は、破断位置を基準に設定した2点間距離の変化と した。張出試験の変位は、成形頂点の変位量とした。第2図(a)の

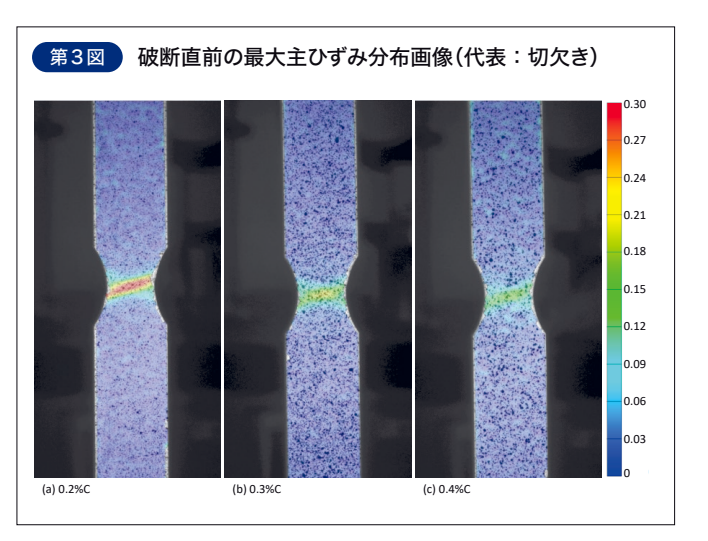
せん断試験の結果、0.2%Cは試験終盤に荷重が低下して破断し たが、0.3%C、0.4%Cでは荷重低下は認められなかった。第2図 (b)の単軸引張試験の結果、3材種とも最大荷重到達後の荷重 低下(局部変形)が見られ、C量が増加するにともない破断時 の変位量(ピーク荷重到達時からの変位量)は減少した。第2 図(c)の切欠き付き引張試験の結果、0.3%Cおよび0.4%Cの破 断時の変位量は0.2%Cの破断時の変位量に比べ極端に小さ く、2材種間で同程度であった。第2図(d)の張出試験の結果か ら、炭素量の増加にともない変位約10mm以降の荷重-変位関 係の勾配が大きくなった。以上、4種類の試験を通じて、炭素量 が増えるに従い破断した変位量が小さくなることが確認された。

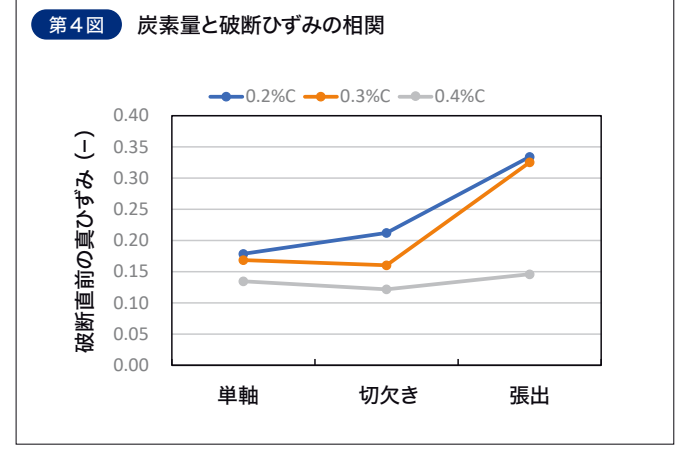
第3図は、切欠き付き試験片の引張破断直前の最大主ひずみ 分布画像である。破断時の変位量が大きい0.2%Cでは切欠き 底部付近にひずみが集中しているのに対し、0.3%C、0.4%Cでは 0.2%Cほどの高ひずみ分布は生じなかった。これは、第1図に示 した破断時の変位量の大小関係と整合している。また、ひずみは 切欠き部の最小断面に必ずしも集中しておらず、載荷直交方向 から若干傾いている様相であった。このように、DICを用いること によって、炭素量による破断直前のひずみ量やひずみの集中状況 の違いを視覚的に確認できた。





このことから、ホットスタンプ材において炭素量による破断挙動 への影響は応力三軸度 n=1/3より大きい領域で顕著になること が分かった。





# E-3 軸圧壊試験とDICによるひずみ計測

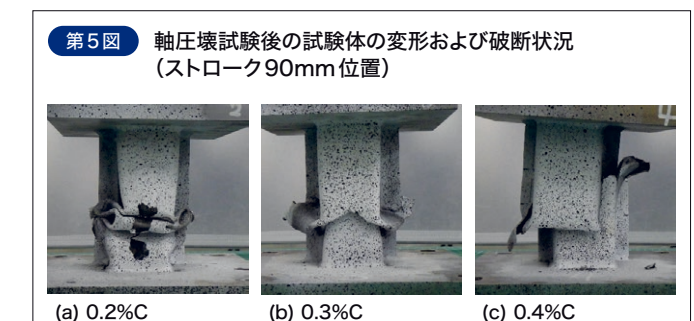
作製したホットスタンプ材をもちいて軸圧壊試験用ハット型試 験体を作製した。試験体は断面50×50mm、長さ200mm、曲げ R5mmとして、共材の上下板をスポット溶接で接合した。また試 験体端部に天板地板を溶接接合した。試験機はアミノ社製の 1000tonプレス機を使用した。軸圧壊試験は試験速度を 1mm/secとした準静的な負荷を与え、荷重とストロークを取得 した。

また、ARAMISをもちいてひずみ計測を実施した。試験体にラン

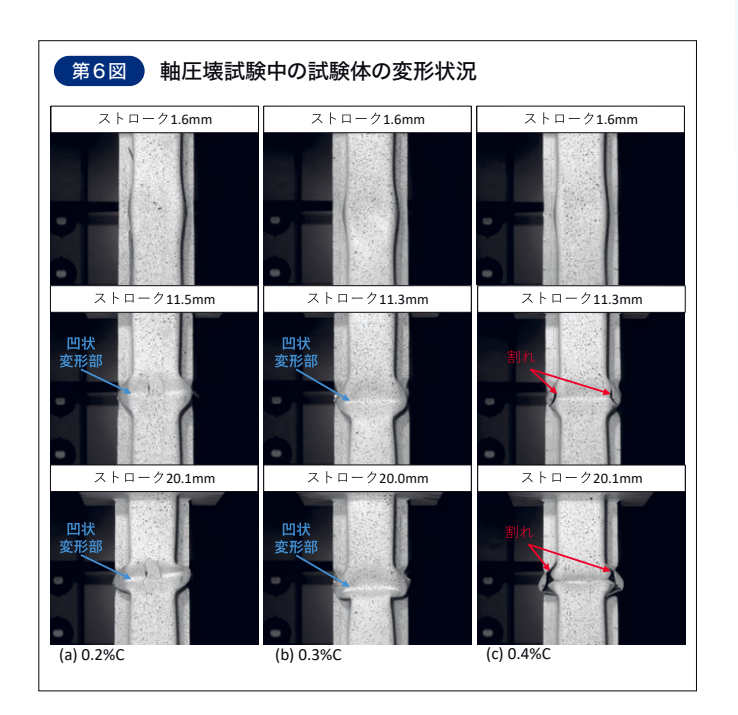
ダムパターンを塗布し、ハット凸部の変形部のひずみを計測した。

第5図に軸圧壊試験後(ストローク90mm位置)の試験体の 変形および破断状況を示す。0.2%Cと0.3%Cでは蛇腹状変形 部で破断せず変形が進行しているが、0.3%Cは典型的な蛇腹 状変形とはやや様相が異なっている。0.4%Cについては大きな 破断を伴う変形となった。

第6図に各炭素量での軸圧壊試験中の変形状況を示す。スト ローク1.6mm 位置では、すべての試験体で同様な座屈変形が



認められる。また、0.4% Cでは変形部近傍のスポット溶接部に破 断が認められた。ストローク約11mm位置では、0.4% Cにおい てハット肩近傍にき裂が生じ、ストローク約20mm位置では同き 裂の進展が認められた。ストローク90mm位置では、このき裂の 進展の影響を受け大きな破断を伴う変形が生じたと推察され る。とくに0.4%Cは、引張破断試験の結果においても破断直前 のひずみ量が他の2材種より低かったことから、早期にき裂が生 じたことが示唆される。0.2%C、0.3%Cではストローク約11mm で、破断が認められず、2材種とも同様の変形状態であった。スト ローク約20mmで、0.2%Cでは座屈変形部中央が凹状に変形 しており、中央基準に座屈が進展することによりストローク 90mmで典型的な蛇腹状変形が生じたと考えられる。また、



0.3%Cでは座屈変形部下側が凹部に変形しており、凹部基準に 変形したためストローク90mmでは上板が覆いかぶさるように 変形したと考えられる。

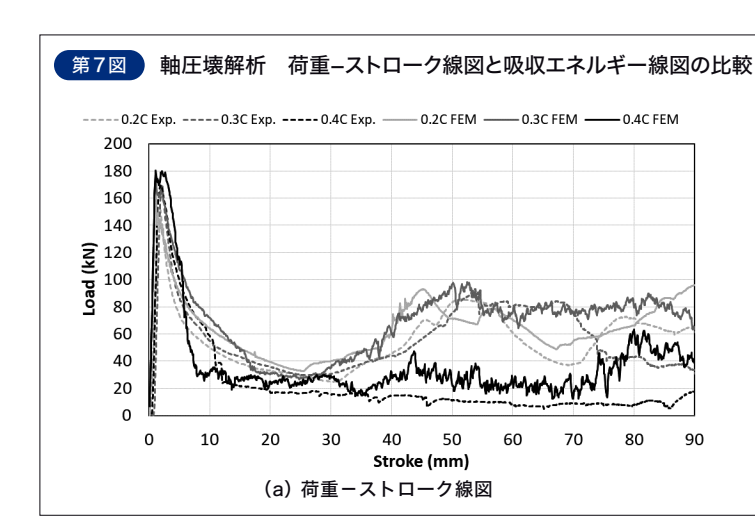
# E-4 軸圧壊解析

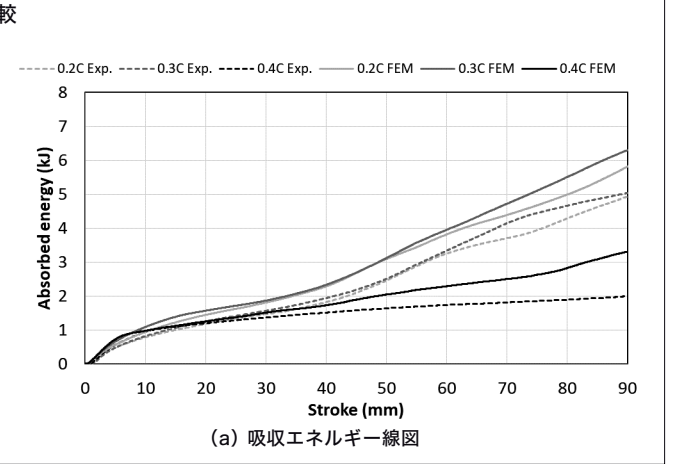
軸圧壊解析のFEMモデルはハット部にはシェル要素をもち い、メッシュ寸法は1mm、弾塑性体でモデル化した。また天板地 板はソリッド要素をもちいた弾性体、試験機の治具は剛体要素 でモデル化した。使用したソフトはSIMULIA Abaqus/Explicit であり、動的陽解法で計算を実施した。ホットスタンプ材の材料 モデルは、ミーゼスの降伏関数による等方弾塑性体を仮定した。 破断モデルは、応力三軸度を基準としたY.Baiらのモデル3)を採 用した。破断モデルのパラメータは前項の4種類(せん断、単軸 引張、切欠き付き引張、張出)の破断特性試験をもとに調整のう え決定した。

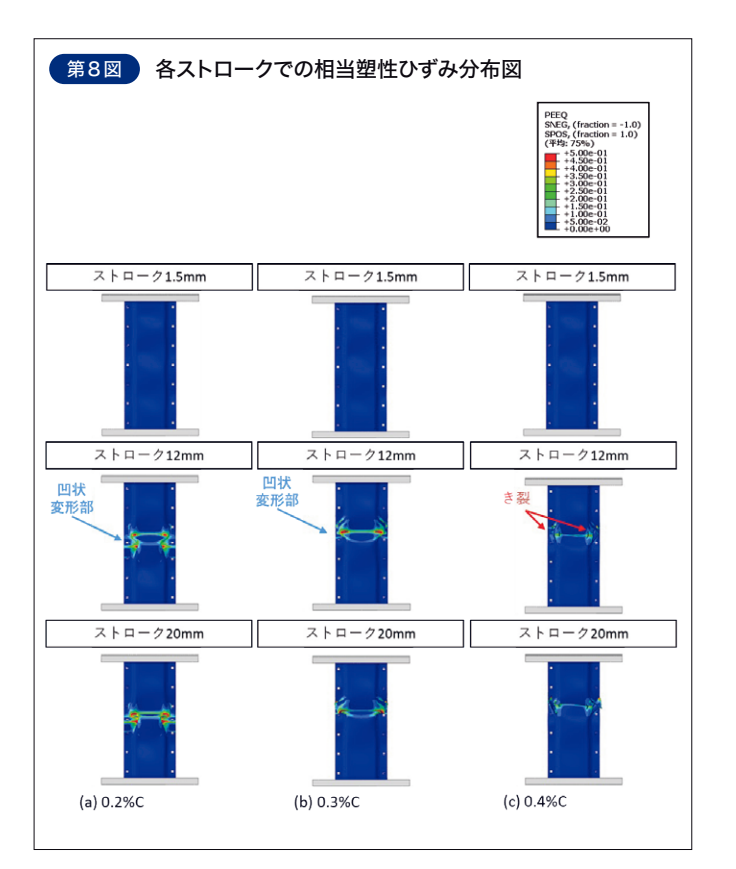
軸圧壊解析の結果得られた荷重-ストローク関係とエネル ギー吸収量の推移を第7図に示す。これらの結果から、試験での

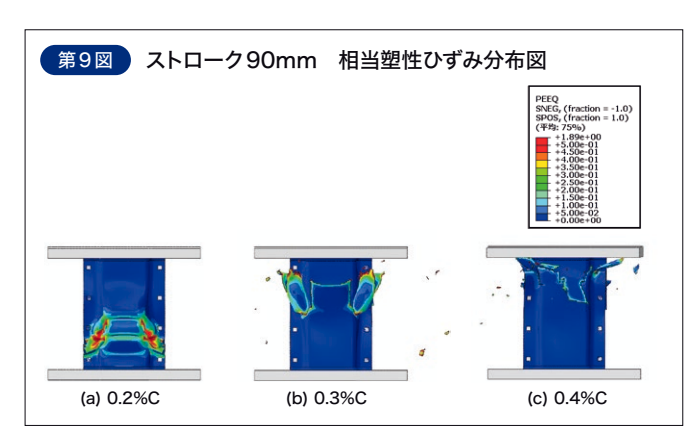
各挙動の推移を概ね再現できおり、解析の再現性が高いことが わかる。次に、ストローク1.5~20mmと90mmのときの変形状 態を第8図、第9図に示す。カラーは相当塑性ひずみ分布を示し ている。ストローク1.5mmではいずれも軸方向中央部付近で座 屈している。ストローク12mmでは0.4%Cにおいては座屈変形 した肩部付近で割れが発生しており、割れ挙動は試験とよく一致 した。ストローク90mmでは0.2%Cでは蛇腹変形し、0.3%Cで は蛇腹変形の途中でハット部が部分的に破壊、0.4%Cでは座 屈部付近から大きく破壊した状態となって、試験の変形挙動をよ く再現することができた。

最後に、0.4% Cを例として、ストローク20mmまでの発生ひず みを、DICとFEMで比較した。第10図は、凹み部、幅方向

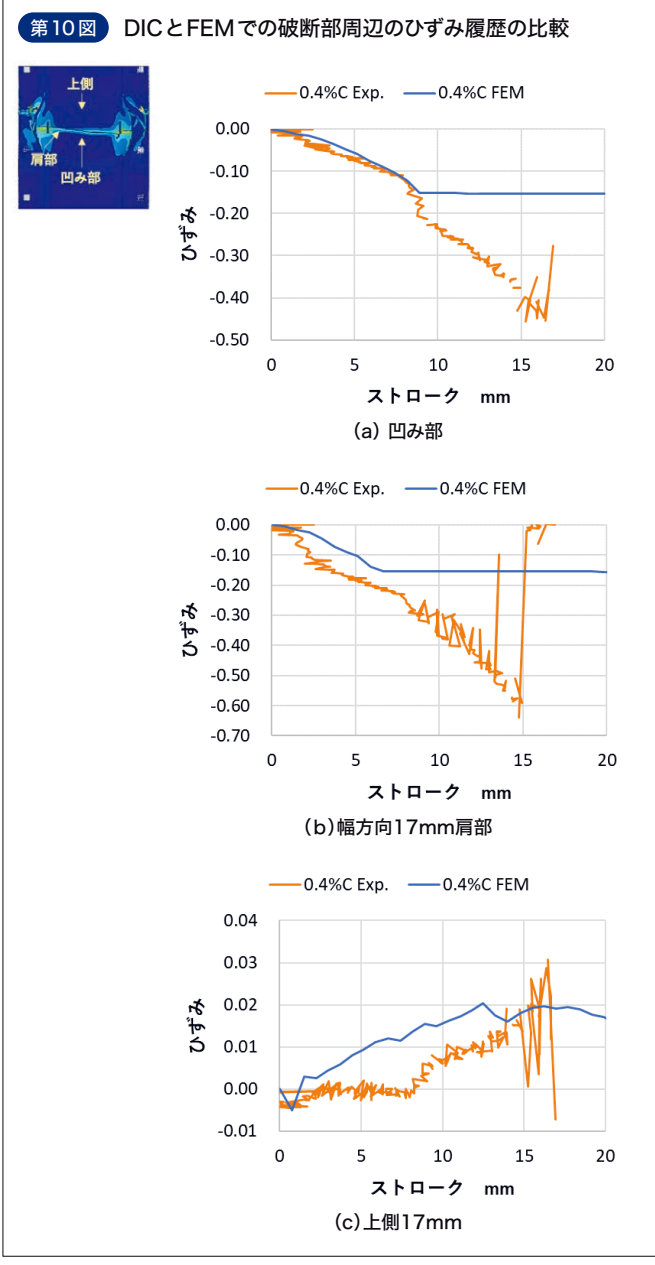








17mmの肩部および上側17mmにおける軸方向ひずみの発生 状況である。結果、凹み部と肩部はストロークおおよそ9mm以 下の範囲、上側についてはストローク15mm程度までよく一致し



ており、座屈の初期過程の挙動がFEMで再現できた。ただし、た とえば凹み部のストローク9mm以降のように、FEMで破断が生 じた場合にはそれ以降のひずみの直接比較は困難となる。

炭素量違いのホットスタンプ材に対して、その破断特性を取得し実部品を想定した試験体をもちいて軸圧壊試験を実施した。その結 果、炭素量による破断ひずみの違いは平面ひずみや等二軸状態で大きくなっており、軸圧壊試験で得られる吸収エネルギー量の差にも 表れていた。このことは、単軸引張試験だけでは板材の破断挙動の推定が難しい場合があり、応力状態を変えた破断特性試験や軸圧 壊試験の実施が望ましいことを意味する。

また軸圧壊解析のFEMでは、材料モデルに破断特性を導入することで炭素量毎の割れや変形の特徴を再現できることを示した。今 後も自動車ボディにもちいられる材料に対して、衝突破壊挙動の試験的評価やFEMモデル化について知見を深め、成果を適宜報告し ていきたい。

参考文献 \*1) 内藤純也ほか: R&D神戸製鋼技報, Vol. 66(2017) No. 2, p. 69.

\*2) 井上功之ほか: 自動車技術会秋季大会学術講演会予稿集. (2023)No.89-23.

\*3) Y. Bai et al.: Int. J. Fract., Vol.161(2010)No.1, p. I-2.